

Phase chimie : extract misme PC 10-19.

1 - $\mu_g(T, P) = \mu_g^0(T) + RT \ln\left(\frac{P}{P^0}\right)$

$\mu_g^0(T)$ = potentiel chimique standard du G.P
= μ^0 chimique du G.P sous la pression P^0

* Pour une phase condensée: $\mu_c(T, P) = \mu_c^0(T)$

2 - $G = H - TS$

$dG = dH - TdS - SdT$

$dS = \frac{dQ}{T} + SdS$

$dH = dU + d(PV) = PdV + SdT + VdP + PdV$

En travaillant sur un chemin

$dG = TdS - TdS - TdS - SdT + VdP$

$dG = VdP - SdT - TdS = VdP - SdT + \sum \mu_i dn_i$

D'où $\sum \mu_i dn_i = -TdS$

3 - D'après le second principe $dS \geq 0$ d'où $\sum \mu_i dn_i \leq 0$ dans le cas d'une évolution spontanée.

Dans le cas d'un corps pur sous forme solide ou de ce même corps sous forme vapeur.

4 - à l'éq $\bar{\alpha}(T, P) = \mu_c(T)$

$\mu_g(T, P) = \mu_c(T, P)$

$\mu_g(T) + RT \ln\left(\frac{P}{P^0}\right) = \mu_c^0(T)$

$\mu_g^0(T) - \mu_c^0(T) = RT \ln\left(\frac{P}{P^0}\right)$

b - hors eq $\bar{\alpha}(T, P)$

$\mu_c \text{ dans } + \mu_g \text{ dans } < 0$

$(\mu_g^0(T) + RT \ln\left(\frac{P}{P^0}\right)) \text{ dans } + \mu_c^0(T) \text{ dans } < 0$

et $\text{dans} = - \text{dans}$

$[\mu_g^0(T) - \mu_c^0(T) - RT \ln\left(\frac{P}{P^0}\right)] \text{ dans } < 0$

$RT \ln\left(\frac{P}{P^0}\right) \text{ dans } < 0$

Parce que la phase solide est plus stable
 $\text{dans} > 0 \Rightarrow RT \ln\left(\frac{P}{P^0}\right) < 0 \Rightarrow P > P^0$

5 - Pour un corps pur sous une phase:

μ_c est fonction de T et P $\Rightarrow \mu_c(T, P)$

$d\mu_c = \left(\frac{\partial \mu_c}{\partial T}\right)_P dT + \left(\frac{\partial \mu_c}{\partial P}\right)_T dP = -S_c dT + v_c dP$

À l'éq $\bar{\alpha}(T, P) : \mu_g(T, P) = \mu_c(T, P)$

à l'éq $\bar{\alpha}(T, P, dT, dP) : \mu_g(T+dT, P+dP) = \mu_c(T+dT, P+dP)$

$\mu_g(T, P) + d\mu_g = \mu_c(T, P) + d\mu_c$

$\Rightarrow d\mu_g = d\mu_c$

$-S_g dT + v_g dP = -S_c dT + v_c dP$

$$\frac{dp}{dT} = \frac{p_g - p_s}{T(p_g - p_s)}$$

Or $p_g - p_s = \frac{\Delta_{sub}H}{T}$ et $p_g \ll p_s$

D'où $\frac{dp}{dT} \approx \frac{\Delta_{sub}H}{T^2 p_s}$

6 - Pour un G.P. $p_g = \frac{A}{T}$ (forme notée).

$$\frac{dp}{dT} = \frac{\Delta_{sub}H}{kT^2}$$

$$\frac{dp}{p} = \frac{\Delta_{sub}H}{k} \frac{dT}{T^2}$$

Pour une intégration on obtient

$$\ln(p) = - \frac{\Delta_{sub}H}{k} \frac{1}{T} + B$$

$$A = + \frac{\Delta_{sub}H}{k}$$

7 - Si $p_{s,A} < p_{s,B}$, désignons les pressions de vapeur saturante des 2 formes de la caléine

Si $p_{s,A} < p_{s,B}$

$$p_{s,A}(T) - p_{s,B}(T) < p_{s,B}(T) - p_{s,A}(T)$$

$$\Rightarrow p_{s,A}(T) < p_{s,B}(T)$$

Dans le cas où les 2 formes solides coexistent

$$p_{s,A}(T)_{DMA} + p_{s,B}(T)_{DMA} < 0$$

$$DMA = -DMA \Rightarrow (p_{s,A}(T) - p_{s,B}(T))_{DMA} < 0$$

$DMA > 0 \Rightarrow$ la forme II est la plus stable

la forme solide la plus stable à T est donc celle ayant la pression de vapeur saturante la plus faible.

8 - A la température de transition entre les 2 formes, les pressions de vapeur saturantes sont égales.

$$-\frac{A_I}{T_I} + B_I = -\frac{A_{II}}{T_I} + B_{II}$$

$$(A_I - A_{II}) \frac{1}{T_I} = B_I - B_{II}$$

$$T_I = \frac{A_I - A_{II}}{B_I - B_{II}}$$

9 - D'après la formule établie au 6 -

$$+ \frac{\Delta_{sub}H}{k} = A \quad A_{sub} = + A \times k$$

$$\Delta_{sub}H_I = + 1,3 \cdot 10^4 \times 8,31 = 108 \text{ kJ} \cdot \text{mol}^{-1}$$

$$\Delta_{sub}H_{II} = 116 \text{ kJ} \cdot \text{mol}^{-1}$$

$$T_I = \frac{-1,3 \cdot 10^4 + 1,4 \cdot 10^4}{-38,1 + 35,8}$$

$$T_I = 170 \text{ K}$$

10 - $\Delta_{sub}H_{II} > \Delta_{sub}H_I$

$\Delta_{sub}H_{II} > \Delta_{sub}H_I$

$\Delta_{sub}H_{II} > \Delta_{sub}H_I$

D'après le cycle ci-dessus

$$\Delta_{sub}H = \Delta_{sub}H_{II} - \Delta_{sub}H_I$$

$$\Delta_{sub}H = 8 \text{ kJ} \cdot \text{mol}^{-1}$$

L'enthalpie $\Delta_{sub}H$ indique l'écart de l'enthalpie entre les deux formes à 10 moles

Concours ATS de 15.

Etude du LHC au CERN

1- l'atome d'hydrogène:

1-1 Ionisation de l'atome d'hydrogène - ligne de transitions.

1-2 = 1 1^{ère} ligne 1^{ère} colonne
H₀ H-H

$$E_1 = -13,6 \text{ eV}$$

$$E_2 = -3,4 \text{ eV}$$

$$E_3 = -1,5 \text{ eV}$$

$$E_4 = -0,85 \text{ eV}$$

$$\Delta E_{12} = 10,2 \text{ eV}$$

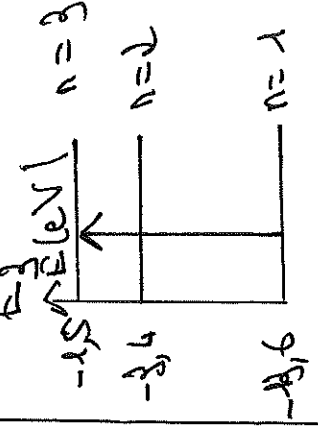
$$\Delta E_{13} = 12,1 \text{ eV}$$

$$\Delta E_{14} = 12,75 \text{ eV}$$

$$3 - \text{Protos} = h\nu = 1,9 \cdot 10^{-19} \text{ eV} = 12,7 \text{ eV}$$

$$E_{\text{pot}} = \Delta E_{13}$$

Le atome va passer du niveau fondamental E1 au niveau d'excitation E3



2- Brève histoire d'un proton accéléré par le complexe d'accélérateurs du LHC et au CERN:

2-1 Particule dans un champ électrique constant et uniforme:

$$4 - F^p = eE$$

$$5 - mg = 1,6 \cdot 10^{-26} \text{ N}$$

$$eE = 1,6 \cdot 10^{-14} \text{ N}$$

$\|mg\| \ll \|eE\|$, le poids est donc négligeable.

(1)

(2)

①

$$6 - m\vec{a} = e\vec{E}$$

$$\vec{a} = \frac{e\vec{E}}{m}$$

$$7 - V_L - V_0 = \int_{0 \rightarrow L} -E \cdot d\vec{r} = -EL$$

$$V_L = V_0 - EL$$

$$\text{Pour } V_0 = 0 \quad [V_L = -EL]$$

On retrouve bien F selon des potentiels décroissants.

8 - Th. de l'énergie appliquée au proton:

$$\frac{1}{2} m v_L^2 = eEL \quad (W(F) = F \cdot L \text{ en } \vec{r})$$

ou conservation de l'énergie nécessaire, l'énergie potentielle du proton en un point où le potentiel est V vaut

$$E_p = eV$$

$$\text{D'où: } \frac{1}{2} m v_L^2 + eV_L = \frac{1}{2} m v_0^2 + eV_0$$

②

$$\frac{1}{2} m v_L^2 = -eV_L = eEL$$

2- Un accélérateur linéaire de particules: de longueur L .

3- Dans les tubes = transmission rect. uniforme.

Entre 2 tubes la diff. de potentiel V_C , l'énergie cinétique gagnée de eV_C .

v_0 à la sortie du 1^{er} tube

$$E_{c1} = \frac{1}{2} m v_0^2 = eV_0$$

à la sortie du 2^{ème} tube

$$E_{c2} = E_{c1} + eV_C = e(V_0 + V_C)$$

à la sortie du n ème tube:

$$E_{cn} = E_{c1} + (n-1)eV_C = e(V_0 + (n-1)V_C)$$

$$\frac{1}{2} m v_n^2 = e(V_0 + (n-1)V_C)$$

$$v_n = \sqrt{\frac{2e(V_0 + (n-1)V_C)}{m}}$$

5

la vitesse est 10 fois plus:

$$v_{10} = \sqrt{2 \times 1,6 \cdot 10^{-19} \times (200 \cdot 10^3 + 3 \times 2000 \cdot 10^3)}$$

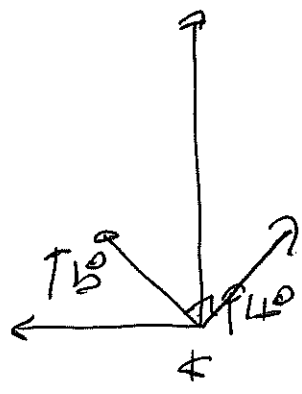
$$v_{10} = 6 \cdot 10^7 \text{ m} \cdot \text{s}^{-1} < \frac{c}{3}$$

les protons sont non relativistes.

2-3 Du linac 2 au synchrotron 2

protons:

$$10 \rightarrow F = e \vec{v} \wedge \vec{B}_0$$



$$\vec{\omega} = \vec{v} \cdot \vec{\nabla} \vec{A} = 0$$

F ne traverse pas donc

$A \cdot F = 0 \Rightarrow \| \vec{B} \| = \text{cte} \Rightarrow$ champ uniforme.

6

→ Appliquons le PFD au

proton:

$$m_p \frac{d^2 \vec{r}}{dt^2} = e \vec{v} \wedge \vec{B}_0 = e \begin{vmatrix} \hat{x} & \hat{y} & \hat{z} \\ v_x & v_y & v_z \\ 0 & 0 & B_0 \end{vmatrix}$$

$$m_p \ddot{x} = e B_0 y$$

$$m_p \ddot{y} = -e B_0 x$$

$$z = 0$$

$$\ddot{x} = \frac{e B_0}{m_p} y = \omega_0^2 y(t) \quad \omega_0 = \frac{e B_0}{m_p}$$

$$\ddot{y} = -\frac{e B_0}{m_p} x = -\omega_0^2 x(t)$$

$$z(t) = 0 \Rightarrow z(t) = 0 \text{ tout temps}$$

$$z(t) = 0 \Rightarrow \text{plan } (xOy)$$

$$a) \Rightarrow \ddot{y} = -\omega_0 x + \text{cte}$$

$$b) \Rightarrow \ddot{x} = \omega_0 y \quad \text{cte} = v_0 \sin t$$

$$\ddot{y} = -\omega_0 x + v_0 \sin t$$

En réinjectant dans l'eq (a), on obtient.

$$\ddot{x} = -\omega_0^2 x + \nu_0 \omega_0 \sin \omega t$$

$$\ddot{x} + \omega_0^2 x = \nu_0 \omega_0 \sin \omega t$$

$$x(t) = A \cos(\omega_0 t) + B \sin(\omega_0 t) + \frac{\nu_0 \sin \omega t}{\omega_0}$$

$$x(0) = 0 \Rightarrow A = -\frac{\nu_0 \sin \omega t}{\omega_0}$$

$$\dot{x}(0) = \nu_0 \cos \omega t = B \omega_0$$

$$x(t) = \frac{\nu_0 \sin \omega t}{\omega_0} - \frac{\nu_0 \sin \omega t \cos \omega_0 t}{\omega_0} + \frac{\nu_0 \sin \omega t \sin \omega_0 t}{\omega_0}$$

$$(1) \dot{x} = \omega_0 y + \nu_0 \cos \omega t$$

$$\dot{x}(0) = \nu_0 \cos \omega t \quad y(0) = 0$$

$$\dot{x}(t) = \omega_0 y + \nu_0 \cos \omega t$$

$$(2) \Rightarrow \ddot{y} = -\omega_0^2 y - \omega_0 \nu_0 \cos \omega t$$

$$y(t) = C \cos(\omega_0 t) + D \sin(\omega_0 t) - \frac{\nu_0 \cos \omega t}{\omega_0}$$

$$y(0) = 0 \Rightarrow C = \frac{\nu_0 \cos \omega t}{\omega_0}$$

$$\dot{y}(0) = \nu_0 \sin \omega t = D \omega_0$$

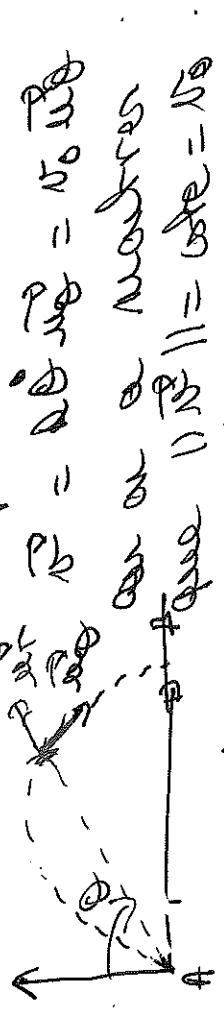
$$y(t) = \frac{\nu_0 \cos \omega t \cos \omega_0 t}{\omega_0} + \frac{\nu_0 \sin \omega t \sin \omega_0 t}{\omega_0} - \frac{\nu_0 \cos \omega t}{\omega_0}$$

$$\left(x - \frac{\nu_0 \sin \omega t}{\omega_0}\right)^2 + \left(y + \frac{\nu_0 \cos \omega t}{\omega_0}\right)^2 = \frac{\nu_0^2}{\omega_0^2}$$

On obtient l'équation d'un cercle de rayon $R = \frac{\nu_0}{\omega_0} = \frac{5 \text{ m/s}}{c \cdot 10^8}$

Remarque:

Si on nous demande de montrer que la trajectoire est circulaire pour des petits ω , on passe en coordonnées polaire.



$$P = -\frac{\nu_0 \sin \omega t}{\omega_0} = -\frac{\nu_0 \sin \omega t}{R}$$

$$R = -\frac{\nu_0 \sin \omega t}{\omega_0}$$

$$M \vec{v} = \vec{P}$$

$$M \frac{\nu_0}{R} = c \nu_0 \Rightarrow R = \frac{M \nu_0}{c \nu_0}$$

(7)

11 - Si on néglige toujours le poids, ⁹
la résultante des forces est
nulle \Rightarrow mot rectiligne uniforme